

## مقایسه روش‌های هیدرولیکی روندیابی سیل در بازه‌ای از رودخانه دوآب صم胺ی

روح الله کریمیان کاکلکی<sup>۱\*</sup>، سید جواد ساداتی نژاد<sup>۲</sup>، افشین هنربخش<sup>۳</sup>، منصور نجفی حاجیور<sup>۴</sup>، خسرو دودکانلوی میلان<sup>۵</sup>

تاریخ پذیرش: 1392/2/24

تاریخ دریافت: 1391/2/3

### چکیده

در روندیابی سیلاب به منظور تعیین آبنگار خروجی از بازه‌ی رودخانه می‌توان از روش‌های هیدرولیکی و آبشناسی مختلفی استفاده کرد. روش‌های روندیابی هیدرولیکی بر پایه‌ی معادلات سنت-وانانت بوده، و با توجه به معادله‌ی پیوستگی و جمله‌های درگیر از معادله‌ی اندازه‌ی حرکت به سه روش موج جنبشی، موج پخشیدگی و موج پویا تقسیم می‌شوند. در این تحقیق نیز با هدف بررسی کارایی دو روش موج جنبشی و موج پویا، بازه‌ای به طول 3/5 کیلومتر از رودخانه دوآب صم胺ی از سرشاخه‌های کارون انتخاب گردید. پس از انجام عملیات صحرایی و جمع‌آوری داده‌های مورد نیاز اقدام به روندیابی سیلاب با کاربرد روش موج جنبشی و با استفاده از برنامه‌ی رایانه‌ای تهیه شده گردید. برای روندیابی پویای سیلاب از تحلیل جریان غیرماندگار با کاربرد نرم‌افزار HEC-RAS استفاده شد. در ادامه آبنگارهای محاسبه شده از هر دو روش با آبنگارهای مشاهده‌ای در خروجی بازه با استفاده از فراسنج RMSE مقایسه گردیدند. در مجموع، نتایج تحقیق نشان دهنده‌ی دقیق‌تر شبهیه HEC-RAS در برآورد آبنگارهای خروجی است. نتایج شبیه موج جنبشی تفاوت بسیار اندکی با دستاوردهای شبیه HEC-RAS دارد، و با توجه به سادگی روش حل معادلات، و همچنین داده‌های مورد نیاز کمتر، می‌توان از شبیه موج جنبشی در مطالعات مشابه، و رودخانه‌هایی با شبیه تندتر برای بررسی روند سیل بهره برد.

**واژه‌های کلیدی:** روندیابی سیلاب، موج جنبشی، موج پویا، دوآب صم胺ی، HEC-RAS

<sup>1</sup>- دانش آموخته کارشناسی ارشد رشته مهندسی آبخیزداری دانشگاه شهرکرد

<sup>2</sup>- دانشیار گروه مرتع و آبخیزداری دانشکده منابع طبیعی دانشگاه شهرکرد

<sup>3</sup>- استادیار گروه مرتع و آبخیزداری دانشکده منابع طبیعی دانشگاه شهرکرد

<sup>4</sup>- دانش آموخته کارشناسی ارشد رشته مهندسی آبخیزداری دانشگاه تهران

<sup>5</sup>- دانش آموخته کارشناسی ارشد رشته مهندسی آبخیزداری دانشگاه شهرکرد

\*- نویسنده‌ی مسئول: karimian.roh@gmail.com

جريان محاسبه شده از همه‌ی شبیه‌های فوق با جريان مشاهده شده خروجی تطابق خوبی دارند، ولی شبیه موج پویا به علت صحت بیشتر نتایج و جنبه کاربردی آن قابل اعتمادترین روش می‌باشد. هیکس (1996) با تذکر این نکته که شبیه‌های روندیابی هیدرولیکی به رغم پیش‌بینی دقیقتر از روند سیل نیازمند داده‌های هندسی وسیعتری از بازه‌ی مورد مطالعه می‌باشند، به توسعه یک شبیه روندیابی هیدرولیکی سیل با استفاده از داده‌های میدانی محدود و تکمیلی با کاربرد نقشه‌های پستی و بلندی پرداختند. پاتریسا و ریموندو (2005) در تحقیق خود روش‌های حل عددی معادلات سنت-وانانت را برای مطالعه‌ی سیل در رودخانه‌ها مورد بررسی قرار داده و در نهایت نتیجه گرفتند که فراسنجهای هیدرولیکی در بررسی ساز و کار انتشار موج سیل نقش عمده و مهمی را ایفا می‌کنند.

نبل و همکاران (2005) با تلفیق شبیه‌های HEC-RAS و HMS در حوزه‌ی سن‌آنتونیو واقع در ایالات تگزاس آمریکا شبیه منطقه‌ای را برای سیلاب ارائه نمودند، و کارایی شبیه را در پیش‌بینی وقوع سیلاب متذکر شدند. شولتس (2009) به روندیابی پویای سیل با استفاده از نرمافزار HEC-RAS در بازه‌هایی از مناطق شهری-روستایی واقع در کارولینای شمالی پرداخت و نتیجه گرفت که کاهش شبیه و افزایش زبری دشت سیلابی و نهر تأثیر بیشتری بر افت قدرت امواج سیل دارد. قبادیان (1387)، در تحقیقی به روندیابی هیدرولیکی سیلاب در رودخانه قره سو با استفاده از حل معادلات جريان غیرماندگار پرداخت و دریافت که آبنگارهای بد و مقیاس محاسبه شده به وسیله‌ی شبیه HEC-RAS تطابق بسیار خوبی از خود نشان می‌دهند. حقیقی و اشرفی (1385)، یک تحقیق مقایسه‌ای را بین روش‌های موج پویا و جنبشی در روندیابی سیل در رود انجام دادند. بدین منظور فراسنجهای مؤثر در نتیجه روندیابی سیل را با استفاده از موج جنبشی در مقایسه با موج پویا مورد تحلیل و بررسی قرار داده و حدود مناسب شبیب بستر را به منظور تحلیل جنبشی به جای پویایی پیشنهاد کردند.

#### مقدمه

روندیابی جريان در یک رودخانه به عنوان یک فرایند ریاضی برای پیش‌بینی تغییرات بزرگی، سرعت و شکل موج سیل به صورت تابعی از زمان در یک یا چند نقطه در طول آبراهه، نهر یا آبگیر در نظر گرفته شده است. اگر جريان مربوطه سیلابی باشد به آن روندیابی سیل گفته می‌شود (چو 1982).

روندیابی سیل از طرق مختلفی امکان‌پذیر است، اما در حالت کلی روش‌های محاسباتی فرایند روندیابی به دو دسته اصلی آب‌شناسی و هیدرولیکی تقسیم می‌گردد. روش‌های آب‌شناسی روندیابی جريان فقط بر پایه‌ی معادله‌ی پیوستگی جريان و معادلات تجربی و مشخصات رودخانه استوار است، در حالی که در روش‌های هیدرولیکی، معادلات پیوستگی اندازه‌ی حرکت، که همان معادلات سنت-وانانت می‌باشند، بطور همزمان به صورت تحلیلی یا عددی حل می‌شوند تا آبنگار خروجی در فاصله‌ای مشخص در پایین‌دست از آبنگار ورودی به دست آید. روش‌های روندیابی هیدرولیکی با توجه به جمله‌های درگیر از معادله‌ی اندازه‌ی حرکت به سه دسته روندیابی موج جنبشی، موج پخشیدگی و موج پویا تقسیم می‌شوند.

ساده‌ترین شکل شبیه روندیابی توزیعی، شبیه موج جنبشی است که در آن از جمله‌های شتاب محلی، شتاب انتقالی و جمله‌ی فشار در معادله‌ی اندازه‌ی حرکت صرف‌نظر گردیده است؛ لذا، در این شبیه نیروی اصطکاکی و گرانشی در تعادل با یکدیگرند. حال چنانچه کلیه جمله‌های معادله‌ی اندازه‌ی حرکت، اعم از جمله‌های شتاب و فشار در نظر گرفته شوند، به همراه معادله‌ی پیوستگی، می‌توان روندیابی سیلاب را به روش موج پویا انجام داد (چو و همکاران 1988). این روش با توجه به جمله‌های درگیر در معادلات، نیازمند اطلاعات بیشتری بوده، و در مقابل انتظار می‌رود نتایج حاصل از آن دارای دقیق‌تری باشند. در زمینه‌ی روندیابی سیلاب مطالعات متعددی صورت گرفته‌اند که در ادامه به برخی تحقیقات مرتبط اشاره می‌گردد. سونترنو (1991)، با هدف انجام مقایسه بین روش‌های مختلف روندیابی سیل از پنج روش ماسکینگام-کانژ، روش خصوصیات، روش موج جنبشی، روش موج پویا و روش UBC استفاده کرد، و دریافت که

بنابراین، از معادله‌ی فوق، که از ترکیب معادله‌ی پیوستگی و اندازه‌ی حرکت به دست آمده برای شبیه‌سازی موج جنبشی در روندیابی سیل استفاده می‌گردد.

موج جنبشی، که بر اثر تغییر در بدنه  $Q$  ایجاد می‌گردد، با سرعت مشخصی به سوی پایین دست در حال حرکت است که مقدار آن از رابطه‌ی زیر تعیت می‌کند:

$$\frac{dx}{dt} = \frac{dQ}{dA} = C_k \quad (7)$$

که در آن  $C_k$  سرعت موج جنبشی است، و این بدان

معناست که اگر ناظری با سرعت  $C_k = \frac{dx}{dt}$  همراه با جریان حرکت کند، مشاهده می‌کند که میزان بدنه جریان با شدت  $\frac{dQ}{dx}$  در حال افزایش است.

### حل عددی موج جنبشی

هدف از حل عددی معادله‌ی (6)، به دست آوردن  $Q(x,t)$  در هر نقطه از شبکه‌ی  $x-t$  طبق شکل (1) و بر حسب فراسنجهای معلوم  $\alpha$  و  $\beta$  نهر و نیز بدنه جانبی  $q(t)$  و همچنین شرایط اولیه و مرزی معین است. برای حل عددی معادله‌ی دیفرانسیلی (6)، مشتقات زمانی و مکانی  $Q$  را روی شبکه‌ی  $x-t$  مطابق شکل (1) در نظر می‌گیریم. تقریبهای تفاضل محدود پسرو برای مشتق مکانی و زمانی برای مقادیر  $Q$  به ترتیب مطابق روابط زیر می‌باشند:

$$\frac{\partial Q}{\partial x} \approx \frac{Q_{i+1}^{j+1} - Q_i^{j+1}}{\Delta x} \quad (8)$$

$$\frac{\partial Q}{\partial t} \approx \frac{Q_{i+1}^{j+1} - Q_{i+1}^j}{\Delta t} \quad (9)$$

چنانچه مقدار  $Q_{i+1}^{j+1}$  در معادله‌ی (6) به جای  $Q$  گذاشته شود، یک معادله‌ی غیر خطی بر حسب  $Q_{i+1}^{j+1}$  به دست می‌آید. برای خطی‌سازی این معادله، مقدار  $Q$  در جمله  $\alpha\beta Q^{\beta-1}$  با میانگیری از مقادیر قطری نشان داده شده در شکل (1) جایگذاری می‌گردد؛ لذا:

$$Q \approx \frac{Q_{i+1}^j + Q_i^{j+1}}{2} \quad (10)$$

با تعیین مقدار بدنه جریان جانبی  $q$ ، با میانگیری در خط مکان  $(j+1)$ ، جایگذاری مقدار  $Q_{i+1}^{j+1}$  در معادله‌ی

در این تحقیق دو روش موج جنبشی و موج پویا از جمله روش‌های هیدرولیکی سیلان در یک مطالعه موردی در رود دوآب صمصاصی واقع در استان چهارمحال و بختیاری با یکدیگر مقایسه شدند. هدف اصلی این تحقیق بررسی کارایی روش ساده‌تر موج جنبشی در مقابل روش کامل و پیچیده‌ی موج پویا می‌باشد که به منظور روندیابی سیل به روش موج پویا از نرم‌افزار HEC-RAS استفاده گردیده است.

### مواد و روشها

#### شبیه موج جنبشی

شبیه موج جنبشی با معادلات زیر تعریف می‌گردد:

معادله‌ی پیوستگی:

$$\frac{\partial Q}{\partial x} + \frac{\partial A}{\partial t} = q \quad (1)$$

معادله‌ی اندازه‌ی حرکت:

$$S_0 = S_f \quad (2)$$

همچنین، معادله‌ی اندازه‌ی حرکت را می‌توان به شکل زیر بیان کرد:

$$A = \alpha Q^\beta \quad (3)$$

با نوشتن معادله‌ی مانینگ بر حسب  $A$  داریم:

$$A = \left( \frac{n P^{\frac{2}{3}}}{\sqrt{S_0}} \right)^{\frac{3}{5}} Q^{\frac{3}{5}} \quad (4)$$

$$\text{و } \beta = \frac{3}{5} \text{ و } \alpha = \left( \frac{n P^{\frac{2}{3}}}{\sqrt{S_0}} \right)^{\frac{3}{5}}$$

معادله‌ی پیوستگی (1) دارای دو متغیر وابسته  $A$  و  $Q$  است، که می‌توان به جای  $A$  از معادله‌ی (3) جایگذاری کرد. با مشتق‌گیری از معادله‌ی (3) و جایگذاری در معادله‌ی (1) داریم:

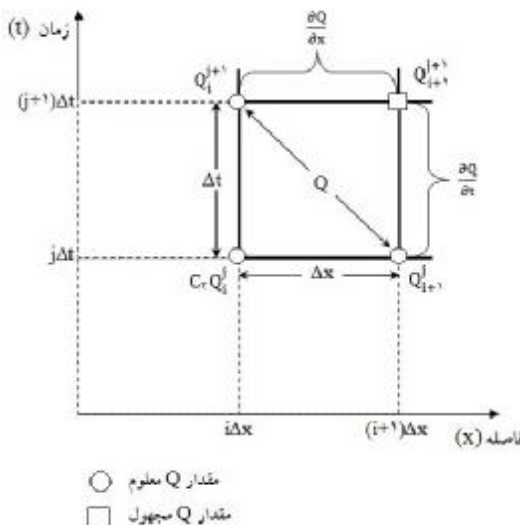
$$\frac{\partial A}{\partial t} = \alpha \beta Q^{\beta-1} \left( \frac{\partial Q}{\partial t} \right) \quad (5)$$

$$\frac{\partial Q}{\partial x} + \alpha \beta Q^{\beta-1} \left( \frac{\partial Q}{\partial t} \right) = q \quad (6)$$

برای حل عددی معادله موج جنبشی، برنامه‌ای رایانه‌ای با استفاده از روش ماکرونویسی در محیط Visual Basic تحت نرم‌افزار Excel تهیه گردید، که با استفاده از روش خطی معادله فوق را برای محاسبه بدء در مقاطع و زمانهای مختلف بر اساس آبنگارهای مشاهده‌ای در مقطع ورودی و سایر خصوصیات بازه رودخانه حل نموده و آبنگار خروجی را به دست می‌دهد.

(6) به جای  $Q$ ، و حل معادله حاصل بر حسب مقدار مجھول  $Q_{i+1}^{j+1}$ ، شکل تفاضلهای محدود معادله موج جنبشی به شکل زیر به دست می‌آید [6]:

$$Q_{i+1}^{j+1} = \left[ \frac{\Delta t}{\Delta x} Q_i^{j+1} + \alpha \beta Q_{i+1}^j \left( \frac{Q_{i+1}^j + Q_i^{j+1}}{2} \right)^{\beta-1} + \Delta t \left( \frac{q_{i+1}^{j+1} + q_{i+1}^j}{2} \right) \right] \left/ \left[ \frac{\Delta t}{\Delta x} + \alpha \beta \left( \frac{Q_{i+1}^j + Q_i^{j+1}}{2} \right)^{\beta-1} \right] \right. \quad (11)$$



شکل ۱- شکل تفاضلهای محدود برای حل معادله موج جنبشی با کاربرد روش خطی.

معادله اندازه‌ی حرکت:

$$\frac{\partial V}{\partial t} + V \frac{\partial V}{\partial x} + g \left( \frac{\partial y}{\partial x} - S_0 + S_f \right) = 0 \quad (13)$$

با توجه به رابطه‌ی فوق معادله اندازه‌ی حرکت مشتمل بر ۵ جمله فیزیکی است، که به ترتیب از چپ به راست عبارتند از: جمله‌ی شتاب محلی که نشانگر تغییر اندازه‌ی حرکت ناشی از تغییر سرعت در زمان است. جمله‌ی شتاب انتقالی که نشانگر تغییر اندازه‌ی حرکت ناشی از تغییر سرعت در طول نهر، جمله‌ی نیروی فشاری که متناسب با تغییر عمق آب در طول آبراهه، جمله‌ی نیروی گرانش که متناسب با شیب بستر  $S_0$  و نهایتاً جمله‌ی نیروی اصطکاکی که متناسب با شیب اصطکاکی  $S_f$  است. جمله‌های شتاب محلی و انتقالی نشانگر تأثیرهای نیروهای لختی بر جریان می‌باشند. روش حل برای معادلات پیوستگی و اندازه‌ی حرکت، استفاده از الگوی تفاضلهای

### شبیه HEC-RAS و تحلیل غیرماندگار جریان

نرم‌افزار HEC-RAS در واقع سامانه‌ی تحلیل رود انجمن مهندسین ارتش آمریکا می‌باشد، که به وسیله‌ی مرکز مهندسی آبشناصی تهیه شده است. این نرم‌افزار قادر به انجام محاسبات یک بعدی در حالت جریان ماندگار و غیرماندگار می‌باشد. در این تحقیق، به منظور معرفی آبنگار سیل و روندیابی آن از تحلیل هیدرولیکی جریان در حالت غیرماندگار استفاده گردیده است. الگوی مورد استفاده به منظور تحلیل غیرماندگار جریان با کاربرد نرم‌افزار HEC-RAS در واقع همان الگوی غیرصریح پریزمان بوده که در ادامه معادلات به کار رفته در این شبیه به منظور تحلیل غیرماندگار جریان آورده شده است. معادله‌ی پیوستگی:

$$\frac{\partial Q}{\partial x} + \frac{\partial A}{\partial t} - q = 0 \quad (12)$$

زبری مانینگ برای هر زیر بازه، از تصاویر تهیه شده، و همچنین از نظرات کارشناسی، استفاده گردید. در گام بعد بهمنظور تأمین داده‌های لحظه‌ای جریان برای استفاده در روش‌های مورد مطالعه، و مقایسه‌ی صحت نتایج محاسبه شده از هر روش، آبنگارهای مربوط به پنج سیلاب رخ داده در سالهای 1388 و 1389 در محل ورودی و خروجی بازه مورد نظر بطور همزمان و با فواصل زمانی 15 دقیقه، مشاهده و ثبت گردید. بدین منظور، تغییرات تراز آب در محل مقاطع ورودی و خروجی به صورت لحظه‌ای ثبت شد و با استفاده از منحنی بدنه-مقیاس مربوط به هر مقطع، آبنگار بدنه‌ی هر سیلاب تهیه گردید.

### اجرای روش‌های حل مورد مطالعه

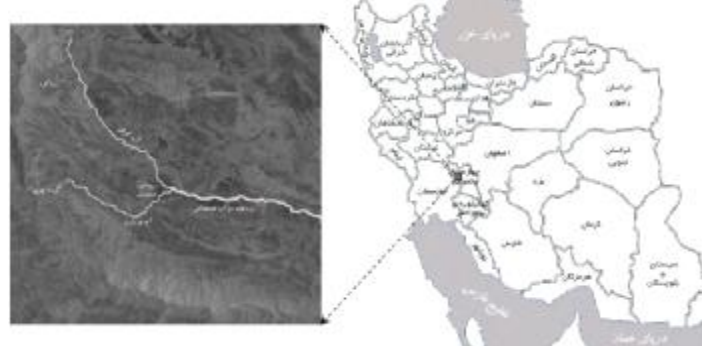
پس از جمع‌آوری و تنظیم آمار و داده‌های مورد نیاز برای استفاده در شبیه‌های مورد نظر، در ابتدا روش موج جنبشی با معرفی مقادیر لحظه‌ای جریان مربوط به آبنگار ورودی، ضریب زبری مانینگ و شبیط طولی هر زیر بازه، خصوصیات هندسی و هیدرولیکی هر مقطع و فواصل بین مقاطع عرضی برداشت شده به برنامه ریاضیهای تهیه شده برای محاسبه آبنگار خروجی، مورد استفاده قرار گرفت. همچنین، بهمنظور روندیابی سیل با استفاده از نرم‌افزار HEC-RAS، پس از معرفی داده‌های هندسی و داده‌های جریان، شبیه اجرا گردید. هر دو شبیه مورد استفاده در این تحقیق برای روندیابی هیدرولیکی سیلاب، بازه‌ای به طول 3/5 کیلومتر از رودخانه‌ی دوآب صصاصی واقع در استان چهارمحال و بختیاری و از سرشاخه‌های اصلی رودخانه کارون بزرگ انتخاب گردید (شکل‌های 2 و 3). حوضه‌ی مربوط به رودخانه دوآب صصاصی دارای مساحتی حدود 177 کیلومترمربع بوده و میانگین بارندگی سالانه در آن برابر 1175 میلیمتر می‌باشد. در عملیات میدانی پس از شناسایی مسیر بازه‌ی حالت مورد مطالعه، اقدام به ثبت 14 مقطع عرضی در طول بازه انتخابی با انجام عملیات نقشه‌برداری شد. سپس اقدام به ثبت خصوصیات فیزیکی مسیر رودخانه از جمله شبیط طولی و مقدار ضریب زبری مانینگ هر زیر بازه گردید. برای تعیین مقادیر ضریب

محدود غیر صریح (ضمی) می‌باشد، که در این روش تقریب تفاضل محدود بر حسب متغیرهای مجھول جایگزین مشتقات مکانی می‌شود، و معادله‌های جبری حاصل را باید برای سامانه بطور همزمان حل کرد (انجمن مهندسین ارتش آمریکا 2010).

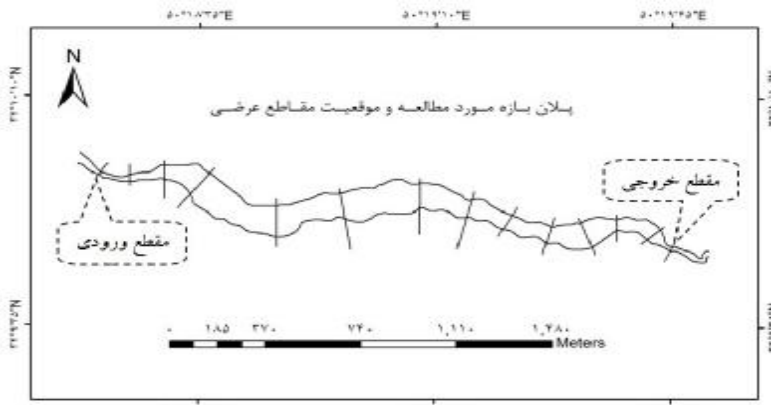
بهمنظور روندیابی آبنگار سیل با استفاده از شبیه HEC-RAS می‌باشد در ابتدا بازه‌ی رودخانه و رقوم مقاطع عرضی برداشت شده را به شبیه معرفی کرد. همچنین، داده‌های جریان شامل شرایط مرزی و شرایط اولیه نیز باید به شبیه معرفی گردند. پس از اجرای موفقیت‌آمیز شبیه کاربر قابل به مشاهده و استخراج آبنگارهای بدنه و مقیاس برای هر یک از مقاطع خواهد بود.

### مطالعه‌ی موردي

جهت بررسی موردي شبیه‌های مورد استفاده در این تحقیق برای روندیابی هیدرولیکی سیلاب، بازه‌ای به طول 3/5 کیلومتر از رودخانه‌ی دوآب صصاصی واقع در استان چهارمحال و بختیاری و از سرشاخه‌های اصلی رودخانه کارون بزرگ انتخاب گردید (شکل‌های 2 و 3). حوضه‌ی مربوط به رودخانه دوآب صصاصی دارای مساحتی حدود 177 کیلومترمربع بوده و میانگین بارندگی سالانه در آن برابر 1175 میلیمتر می‌باشد. در عملیات میدانی پس از شناسایی مسیر بازه‌ی حالت مورد مطالعه، اقدام به ثبت 14 مقطع عرضی در طول بازه انتخابی با انجام عملیات نقشه‌برداری شد. سپس اقدام به ثبت خصوصیات فیزیکی مسیر رودخانه از جمله شبیط طولی و مقدار ضریب زبری مانینگ هر زیر بازه گردید. برای تعیین مقادیر ضریب



شکل 2- موقعیت منطقه‌ی مورد مطالعه در ایران و استان چهارمحال و بختیاری.



شکل ۳- نقشه‌ی بازوی مسطحه‌ی مورد مطالعه، به همراه موقعیت مقاطع عرضی برداشت شده از رودخانه‌ی دوآب صمصامی.

مشاهده گردیده (RMSE) برای زمان اتفاق استفاده شد.

روش محاسبه به شکل زیر است:

$$RMSE = \sqrt{\frac{1}{n} \sum_{i=1}^n (Q_o - Q_c)^2} \quad (14)$$

در این رابطه  $Q_c$  مقادیر بددهی محاسبه شده و  $Q_o$  مقادیر مشاهده ای بدده می‌باشند.  $n$  نیز تعداد زوج بددهای مشاهده‌ای و محاسبه شده از هر شبیه است. مقادیر فراسنچ RMSE برای نتایج هر یک از دو روش روندیابی در جدول (3) آورده شده‌اند. به منظور واپیش نتایج حاصل از مقایسه قبل و تشخیص عوامل خطا یا اشتباه احتمالی، در مرحله بعد مقادیر مشاهده‌ای و محاسبه‌ای برای هر سیلاب نیز بطور جداگانه مورد مقایسه قرار گرفتند.

جدول ۱- مقادیر بددهی اوج مشاهده‌ای و محاسبه شده با کاربرد هر یک از دو روش روندیابی بر حسب متر مکعب بر ثانیه.

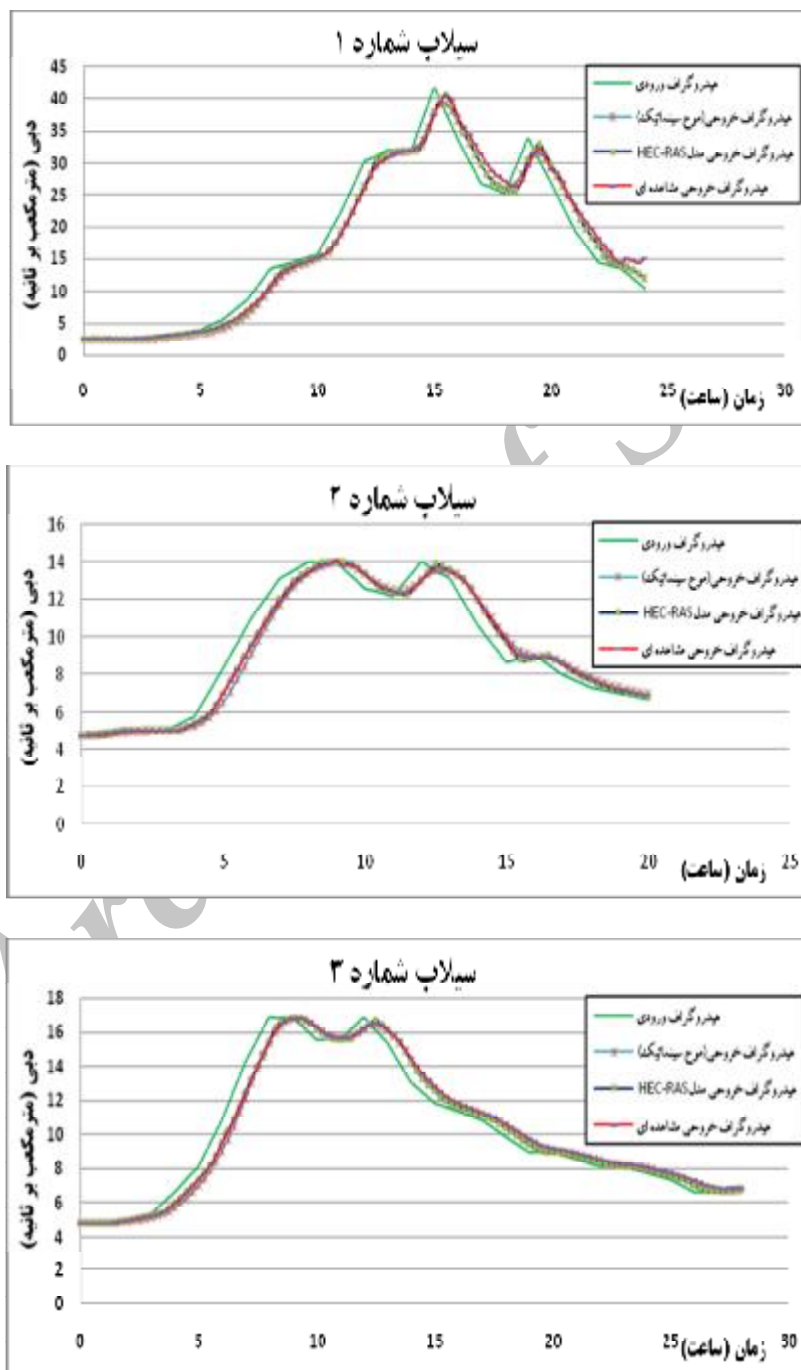
شماره‌ی سیلاب	سیلاب شماره‌ی 1	سیلاب شماره‌ی 2	سیلاب شماره‌ی 3	سیلاب شماره‌ی 4	سیلاب شماره‌ی 5	روش محاسبه
11/7	52/09	16/9	14	40/66	HEC-RAS	شبیه
11/33	50/97	16/81	13/95	39/19		روش موج جنبشی
11/54	51/32	16/82	14/12	40/55		مشاهده‌ی مستقیم

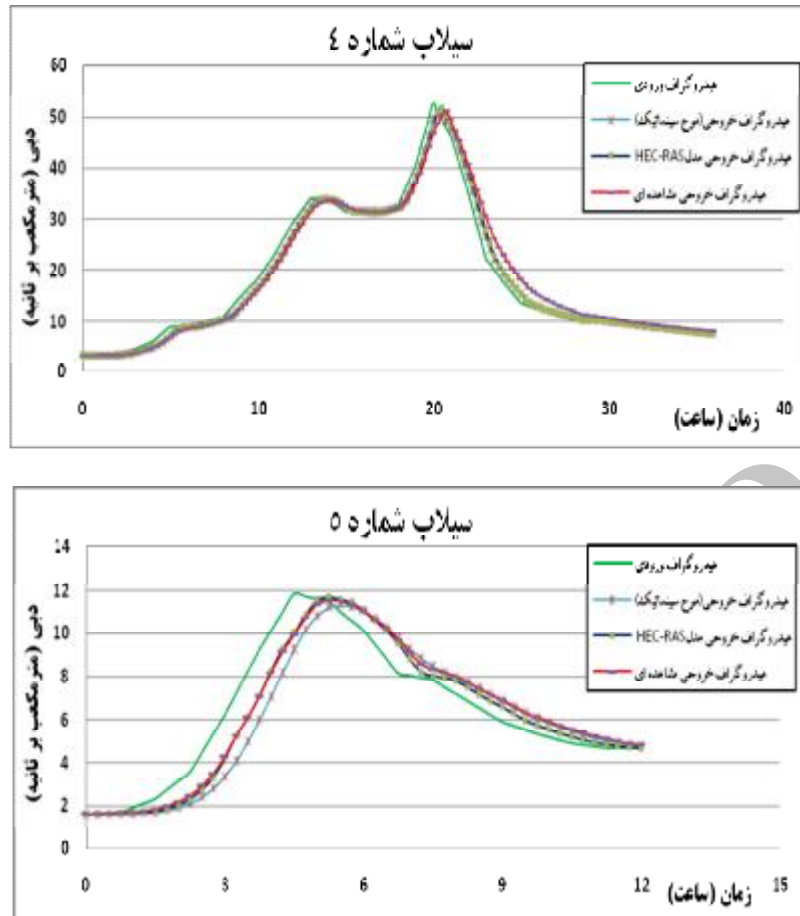
جدول 2- مقادیر زمان وقوع بددهی اوج مشاهده‌ای و محاسبه شده با کاربرد هر یک از دو روش روندیابی براساس زمان از شروع سیلاب بر حسب ساعت.

شماره‌ی سیلاب	سیلاب شماره‌ی 1	سیلاب شماره‌ی 2	سیلاب شماره‌ی 3	سیلاب شماره‌ی 4	سیلاب شماره‌ی 5	روش محاسبه
5/25	20/5	9/25	12/5	15/5	HEC-RAS	شبیه
5/5	20/25	9/25	12/75	15/25		روش موج جنبشی
5/25	20/75	9/25	12/5	15/5		مشاهده‌ی مستقیم

جدول 3 - مقادیر فراسنج RMSE برای هر یک از پنج سیلاب و کل سیلابها.

روش محاسبه	شماره‌ی سیلاب	کل سیلابها	سیلاب شماره‌ی 1	سیلاب شماره‌ی 2	سیلاب شماره‌ی 3	سیلاب شماره‌ی 4	سیلاب شماره‌ی 5
روش موج جنبشی	0/696	0/845	0/173	0/431	1/402	0/431	0/694
شبیه HEC-RAS	0/715	0/082	0/162	1/109	1/402	0/2	0/694

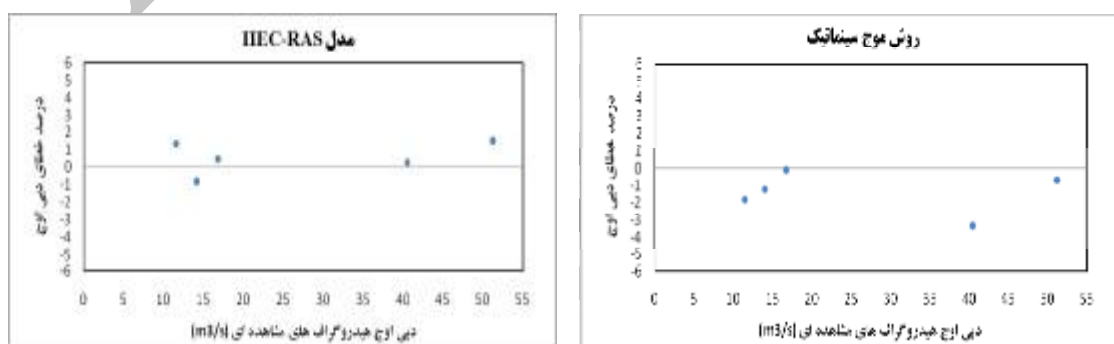




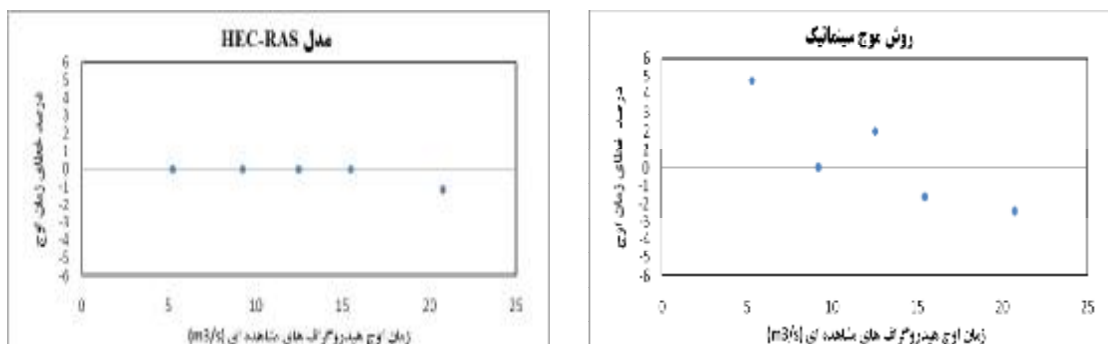
شکل ۴- آبنگارهای ورودی و خروجی مشاهده شده به همراه آبنگارهای خروجی محاسبه شده از هر دو روش روندیابی برای هر کدام از ۵ سیلاب مطالعه.

زمان تا اوج محاسبه شده از هر روش به‌طور جداگانه در مقابل مقدار واقعی در آبنگار مشاهده گردیده‌ی آن واقعه قرار گرفته شده و پراکنش آن نسبت به خط صفر به‌دست آمده است.

به‌منظور تعیین دقیق دو روش موج جنبشی و موج پویا در برآورد مقادیر بددهی اوج و زمان تا اوج، درصد خطای محاسبه‌ی هر فراسنج نسبت به مقادیر مشاهده‌ای محاسبه گردید، که نتایج آن در اشکال (۵) و (۶) آورده شده‌اند. در این شکلها عامل درصد خطای بددهی اوج و



شکل ۵- پراکندگی پیرامون خط صفر برای عامل درصد خطای بددهی اوج.



شکل 6- پراکندگی پیرامون خط صفر برای عامل درصد خطای زمان وقوع بدی اوج.

درستی محاسبه نموده، که از این حیث نیز نسبت به روش موج جنبشی دارای دقت بیشتری می‌باشد.

### نتیجه‌گیری

نتایج تحقیق در مجموع مؤید دقت بالاتر شبیه HEC-RAS در محاسبه‌های روندیابی سیل در رودخانه دوآب صمصمی است، که دلیل آن حل عددی معادلات جریان غیرماندگار و روندیابی پویا جریان می‌باشد، اما ذکر این نکته ضروری است که روش موج جنبشی با توجه به ساده بودن شکل معادله‌های مربوطه، و کمتر بودن جمله‌های درگیر در آنها، نتایج بسیار قابل قبولی را در محاسبه‌های روندیابی سیل در رودخانه دوآب صمصمی به دست آورده است. همچنین، ساده بودن شبیه‌سازی رایانه‌ای، و اطلاعات مورد نیاز کمتر روش موج جنبشی نسبت به روش موج پویا در شبیه HEC-RAS، قابلیت کاربرد این روش را در مطالعه‌های مشابه و در رودخانه‌هایی با شبیه تندتر، افزایش می‌دهد.

### منابع

1. حقیقی ع. و. م. اشرفی. 1385. بررسی مقایسه ای موج پویا و جنبشی در روندیابی سیل در مطالعات مهندسی رودخانه. هفتمین سمینار بین المللی مهندسی رودخانه، 24 الی 26 بهمن‌ماه، دانشگاه شهید چمران اهواز.
2. رحیمی دهاقانی، ن.، ر. فضل اولی، م. نبویان پور، و. م. ضیاء تبار احمدی. 1388. مقایسه نتایج شبیه‌های HEC-RAS و MIKE11 در شبیه سازی پروفیل سطح آب در رودخانه‌ها (مطالعه موردی: رودخانه لردگان). هشتمین کنگره بین المللی مهندسی عمران، 21 تا 23 اردیبهشت ماه، دانشگاه شیراز.

### بحث

با توجه به عامل RMSE محاسبه شده برای مجموع پنج آبنگار سیل حاصل از سه روش روندیابی، مشاهده می‌گردد که نتایج شبیه HEC-RAS دارای کمترین مقدار RMSE بوده و روش موج جنبشی با اختلاف جزئی نسبت به این شبیه در رتبه دوم قرار دارد. همچنین، به منظور واپاپیش نتایج قبل، مقدار فراسنج RMSE بطور جداگانه برای هر کدام از آبنگارهای پنج گانه محاسبه گردید. با توجه به نتایج حاصل، شبیه HEC-RAS از لحاظ دقت در تخمین آبنگار خروجی سه واقعه در رتبه اول قرار دارد و در دو واقعه‌ی دیگر، روش موج جنبشی نتایج صحیحتری را ارائه داده است که البته مقدار فراسنج RMSE این دو واقعه در روشهای موج جنبشی و شبیه HEC-RAS اختلاف ناچیزی دارد. در تحقیقی که سونترنو در سال 1991 با هدف مقایسه روشهای مختلف روندیابی سیل انجام داد نیز روش موج پویا دارای بهترین نتایج بود؛ البته، نتایج سایر روشهای نیز چندان دور از واقعیت نبودند.

روش موج جنبشی در برآورد مقدار بدی اوج در کلیه سیلابها مقدار بدی اوج را کمتر از مقدار مشاهدهای به دست آورده و در شبیه HEC-RAS در سه واقعه مقدار بدی اوج بیشتر از مقدار مشاهدهای به دست آمده است که با نتایج تحقیق رحیمی و همکاران (1388) به منظور شبیه‌سازی آب‌پویایی جریان در بازه‌ای از رودخانه لردگان تطابق دارد. در تحقیق فوق نتایج نشان دادند که در شرایط یکسان، شبیه HEC-RAS سطح آب را بالاتر از شبیه 11 MIKE برآورد می‌نماید. همچنین، شبیه HEC-RAS در چهار واقعه زمان وقوع بدی اوج را به

8. Sholtes, J. 2009. Hydraulic analysis of stream restoration on flood wave propagation. A thesis submitted to the faculty of the University of North Carolina at Chapel Hill.
9. Shultz, M.J., E.C. Crosby, and J.A. McEnergy. 2008. Kinematic Wave technique applied to hydrologic distributed modeling using stationary storm events: an application to synthetic rectangular basins and an actual watershed. 28<sup>nd</sup> Annual American Geophysical Union Hydrology Days, March 26 – March 28, Colorado State University.
10. Soentoro, E.A. 1991. Comparison of flood routing methods. Master of Applied Science. Department of Civil Engineering, The University of British Columbia. 106, P.
11. US Army Corps of Engineers. 2010. User's Manual of HEC-RAS. Gary W. Brunner, CEIWR-HEC
3. قبادیان، ر. 1387. شبیه ریاضی روندیابی هیدرولیکی سیلاب در رودخانه قره سو با استفاده از حل عددی معادلات جریان غیرماندگار. هفتمین کنفرانس هیدرولیک ایران، 21 الی 23 آبان، دانشگاه صنعت آب و برق(شهید عباسپور).
4. Chow, V.T. 1982. Open channel hydraulics. McGraw-Hill Pub. Co., New York, USA.
5. Chow, V.T., D.R. Maidment, and L.W. Mays. 1988. Applied hydrology. McGraw-Hill International Edition.
6. Hicks F.E. 1996. Hydraulic flood routing with minimal channel data: Peace River, Canada. Can. J. Civil Eng. 23:524-535
7. Knebl, M.R., Z.L. Yang, K. Hutchison, and D.R Maidment. 2005. Regional scale flood modeling using NEXRAD, rainfall, GIS, and HEC-HMS|RAS: A Case Study for the San Antonio River Basin, summer 2002 storm event. J. Environ. Manage. 75: 325-336